

ОПРЕДЕЛЕНИЕ ПЕРИОДОВ СВОБОДНЫХ КОЛЕБАНИЙ КАРКАСНЫХ ЗДАНИЙ МЕТОДОМ ПРЯМОЙ ЛИНЕАРИЗАЦИИ

В.А.АМБАРЦУМЯН, Л.А.ЛЕВОНЯН

Ереванский государственный университет архитектуры и строительства

Исследованы свободные нелинейные колебания каркасных зданий, динамическая расчетная схема которых представляется в виде систем с конечным числом степеней свободы. Применен метод прямой линеаризации. Получены значения периодов нелинейных колебаний для различных реальных зависимостей восстанавливающей силы от перемещения.

Ключевые слова: каркасное здание, колебание, период, нелинейность, линеаризация.

Для исследования свободных (автономных) нелинейных колебаний наиболее часто применяют различные методы такие как: метод возмущений, асимптотический метод Крылова-Боголюбова, метод Галеркина и др. [3,6,7]. Наиболее подробно изучены системы с одной степенью свободы. Работы, посвященные нелинейным колебаниям со многими степенями свободы, немногочисленны. В основном изучены колебания с двумя степенями свободы. В работах [1,2] с помощью потенциальной функции и с применением свойств геодезических линий в пространстве изучены многомассовые системы частного вида и получены конкретные результаты. В работе [4] асимптотическим методом получены значения периодов свободных колебаний многоэтажных зданий в случае, когда зависимость восстанавливающей силы от перемещения этажа имеет вид кубической параболы. В работе [5] получены значения периодов нелинейных колебаний в случае степенной зависимости восстанавливающей силы от перемещения. Некоторые конкретные результаты приведены также в работах [3,6,8,9], в которых, особенно в [9], дан также подробный анализ существующих методов исследований нелинейных систем. В работе [7] приведен метод прямой линеаризации, сущность которого заключается в замене заданной нелинейной системы линейной. При этом используется условие минимума квадратного отклонения между восстанавливающими силами заданной нелинейной и полученной линейной системами.

В настоящей работе метод прямой линеаризации распространяется на системы со многими степенями свободы. Показано, что вычислительная простота этого метода позволяет получить значения периодов свободных колебаний в явном виде для многих практически важных случаев зависимостей восстанавливающей силы от перемещения. Исследованы также колебания систем с одной степенью свободы, для которых получены новые результаты о значениях периодов нелинейных колебаний.

Рассмотрим свободные колебания одноэтажной рамы с недеформируемым ригелем, расчетная схема которой представляется в виде системы с одной степенью свободы (рис. 1).

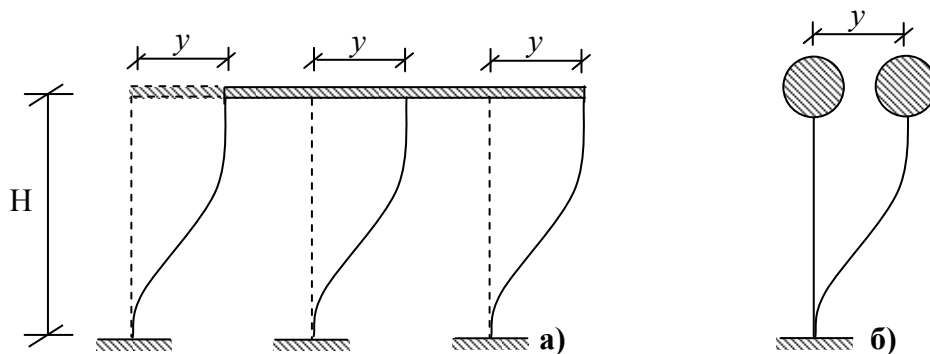


Рис. 1. а - схема рамы; б - динамическая расчетная схема

Уравнение свободных колебаний системы, когда зависимость восстанавливающей силы от перемещения нелинейна, можно представить в виде:

$$m \frac{d^2 y}{dt^2} + af(y) = 0, \tag{1}$$

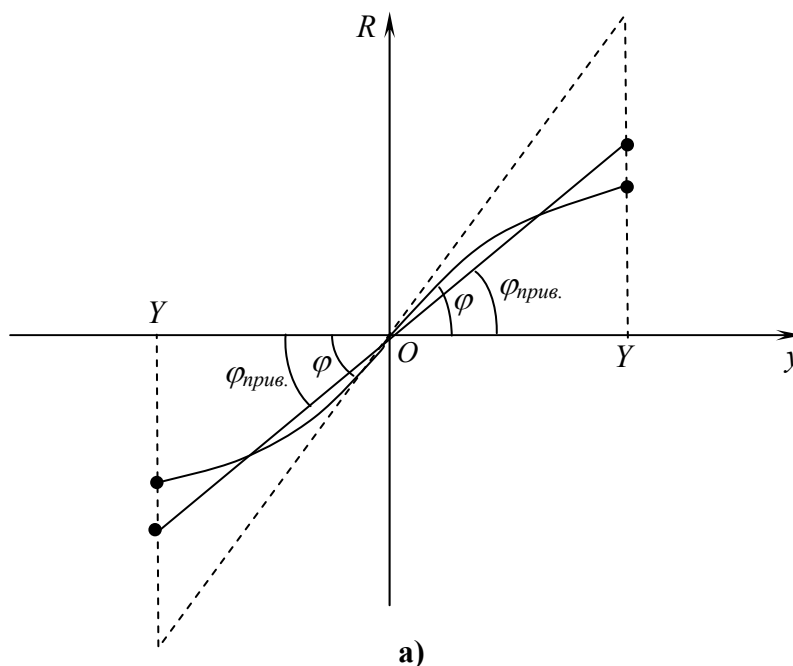
где y - перемещение; m - сосредоточенная масса; $R(y) = af(y)$ - восстанавливающая сила; a - начальная жесткость системы; $a = \text{tg}\varphi$ (рис. 2); $f(y)$ - функция, характеризующая зависимость восстанавливающей силы от перемещения.

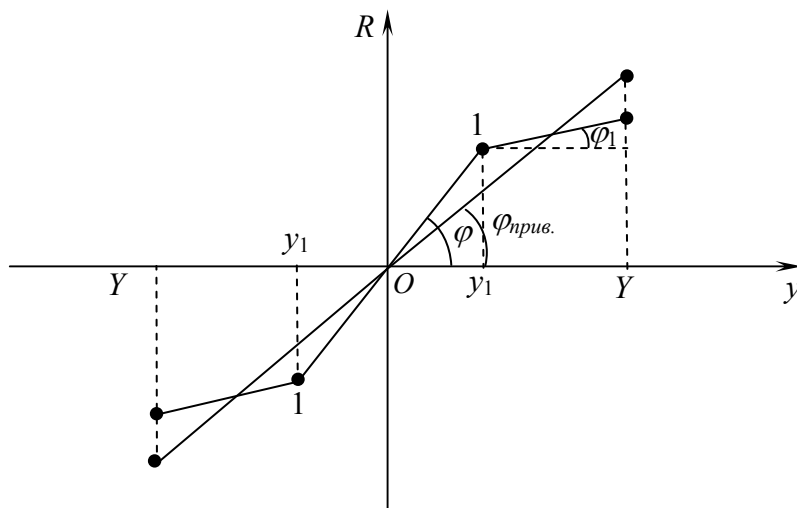
В линейно деформируемой системе $f(y) = y$

Начальная горизонтальная жесткость системы, которая одновременно является жесткостью соответствующей линейной системы, определяется по формуле [6]:

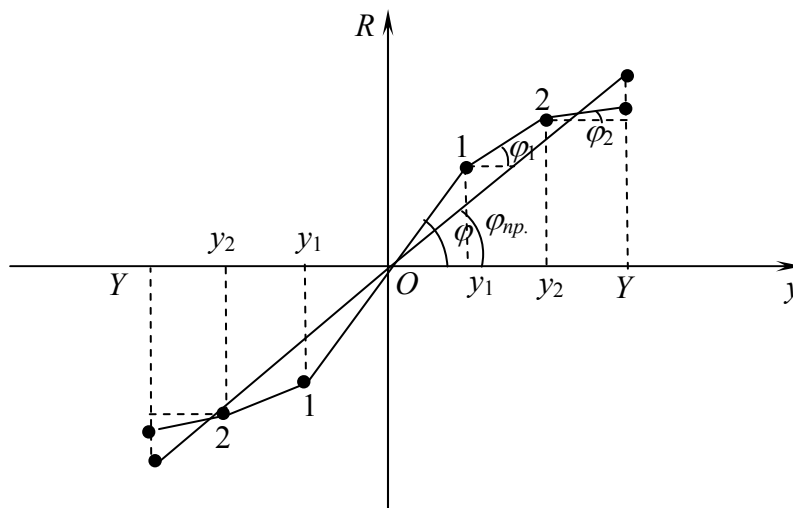
$$a = \frac{12}{H^3} \sum_{j=1}^N EJ_j, \tag{2}$$

где E - модуль упругости колонн; J_j - момент инерции поперечного сечения j -й колонны; N - количество колонн рамы (на рис. 1 $N = 3$).





б)



в)

Рис. 2. Зависимость восстанавливающей силы от перемещения:
а - криволинейная; б - билинейная; в - трехлинейная

Допустим, что найдена приведенная (усредненная) жесткость нелинейной системы $a_{пр}$. Тогда уравнение свободных колебаний приведенной системы будет иметь вид:

$$m \frac{d^2 y}{dt^2} + a_{пр} \cdot y = 0. \tag{3}$$

Разность восстанавливающих сил $r(y)$ нелинейной и линейной систем

$$r(y) = a \cdot f(y) - a_{пр} \cdot y. \tag{4}$$

Чтобы подчеркнуть важность отклонений при больших значениях y , разность $r(y)$ берется в виде:

$$r(y) = [a \cdot f(y) - a_{пр} \cdot y] \cdot y. \tag{5}$$

Задача сводится к минимизации интеграла:

$$I = \int_{-Y}^Y [a \cdot f(y) - a_{\text{пр}} \cdot y]^2 \cdot y^2 dy. \quad (6)$$

Имеем:

$$\frac{dI}{da_{\text{пр}}} = -2 \int_{-Y}^Y [a \cdot f(y) - a_{\text{пр}} \cdot y] \cdot y^3 dy = 0. \quad (7)$$

Получим

$$a_{\text{пр}} = \frac{\int_{-Y}^Y a \cdot f(y) y^3 dy}{\int_{-Y}^Y y^4 dy}. \quad (8)$$

Имея в виду, что под интегралом находятся четные функции, находим:

$$a_{\text{пр}} = \frac{5a}{Y^5} \int_0^Y f(y) y^3 dy. \quad (9)$$

Частота приведенной системы, которая одновременно является частотой и нелинейной системы, определяется по формуле:

$$\omega_{\text{прив}} = \sqrt{\frac{a_{\text{пр}}}{m}}. \quad (10)$$

Подставляя значение (9) в (10), получаем:

$$\omega_{\text{прив}} = \omega_{\text{нел.}} = \sqrt{\frac{a}{m}} \cdot \left\{ \frac{5}{Y^5} \int_0^Y f(y) y^3 dy \right\}^{1/2} = \omega_{\text{лин.}} \cdot \left\{ \frac{5}{Y^5} \int_0^Y f(y) y^3 dy \right\}^{1/2}. \quad (11)$$

Период нелинейной системы устанавливается формулой:

$$T_{\text{прив}} = T_{\text{нел.}} = 2\pi \sqrt{\frac{m}{a_{\text{пр}}}} = 2\pi \sqrt{\frac{m}{a}} \cdot \left\{ \frac{Y^5}{5a \int_0^Y f(y) y^3 dy} \right\}^{1/2} = T_{\text{лин.}} \cdot \left\{ \frac{Y^5}{5a \int_0^Y f(y) y^3 dy} \right\}^{1/2}. \quad (12)$$

Рассмотрим случай, когда восстанавливающая сила изменяется по закону части кубической параболы, имеющему вид:

$$f(y) = y - \varepsilon y^3; \quad \varepsilon \leq \frac{1}{3y^2}. \quad (13)$$

Тогда из (9) и (10) получим:

$$\omega_{\text{пр}} = \omega_{\text{лин}} \left(1 - \frac{5}{7} \varepsilon Y^2 \right)^{1/2}. \quad (14)$$

Для случая (13) имеется точное решение, выраженное через эллиптический интеграл первого рода (см., например, [6]).

При $\varepsilon Y^2 = 1/3$ $T_{\text{нел.}} = 1.146 T_{\text{лин.}}$ и $1.154 T_{\text{лин.}}$ [6]. Значения точного и приближенного периодов отличаются всего на 0.7%.

При билинейной диаграмме (рис. 2,б) функция $f(y)$ запишется в виде:

$$f(y) = \begin{cases} y; & y \leq y_1; \\ \gamma y + (1 - \gamma) y_1; & y \geq y_1, \end{cases} \quad (15)$$

где $\gamma = a_1 / a$.

Из (11) получим:

$$\omega_{\text{нел.}} = \omega_{\text{лин.}} \left\{ \gamma + \frac{5}{4}(1-\gamma) \frac{y_1}{Y} - \frac{(1-Y)}{4} \left(\frac{y_1}{Y} \right)^5 \right\}^{1/2}. \quad (16)$$

При $\gamma = \frac{a_1}{a} = \frac{1}{4}$; $\beta = \frac{Y}{y_1} = 2$. Из (16) получим:

$$\omega_{\text{нел.}} = 0.844\omega_{\text{лин.}}; \quad T_{\text{нел.}} = T_{\text{лин.}} \cdot 1.184.$$

Точное значение периода при вышеуказанных параметрах [6]

$$T_{\text{нел.}} = T_{\text{лин.}} \cdot 1.193.$$

Разница составляет 0.75%.

При зависимости восстанавливающей силы от перемещения, состоящего из трех прямолинейных отрезков (рис. 2,в), функция $f(y)$ представляется в виде:

$$f(y) = \begin{cases} y; & y \leq y_1 \\ \gamma_1 y + (1-\gamma_1)y_1; & y_1 \leq y \leq y_2 \\ \gamma_2 y + (1-\gamma_1)y_1 + (\gamma_1 - \gamma_2)y_2; & y \geq y_2 \end{cases}, \quad (17)$$

где $\gamma_1 = \frac{a_1}{a}$; $\gamma_2 = \frac{a_2}{a}$; $a = \text{tg}\varphi$; $a_1 = \text{tg}\varphi_1$; $a_2 = \text{tg}\varphi_2$ (рис. 2,в).

В этом случае из (11) следует

$$\omega_{\text{нел.}} = \omega_{\text{лин.}} \left\{ \gamma_2 + \frac{5}{4} [1-\gamma_1 + (\gamma_1 - \gamma_2)\beta] \frac{y_1}{Y} - \left[\frac{1}{4}(1-\gamma_1) + \frac{1}{4}(\gamma_1 - \gamma_2)\beta^5 \right] \left(\frac{y_1}{Y} \right)^5 \right\}^{1/2}, \quad (18)$$

где: Y - начальное перемещение ($Y > y_2$); $\beta = \frac{y_2}{y_1}$.

Не составляет труда получить значения частоты нелинейных колебаний в случае, когда зависимость R - y представляется в виде кривой, состоящей из многих прямолинейных отрезков. Заметим, что другими методами получить эту частоту либо затруднительно, либо невозможно в явном виде.

Рассмотрим случай, когда зависимость R - y представляется в виде произвольного степенного ряда. Имеем:

$$f(y) = \sum_{j=1}^{\infty} b_j y^j, \quad (19)$$

где b_j – заданные коэффициенты ряда.

Частота нелинейных колебаний в данном случае находится по форме:

$$\omega_{\text{нел.}} = \omega_{\text{лин.}} \sum_{j=1}^{\infty} \frac{5b_j}{j+1} y^{j-1}. \quad (20)$$

Из (20) может быть получено значение частоты в случае (13), а также другие варианты, описанные в [3, 7].

Определим значение частоты в случае, когда зависимость R - y представляется в виде восходящей части синусоиды.

Функция $f(y)$ задается в виде:

$$f(y) = \frac{1}{\varepsilon} \sin \varepsilon y; \quad \varepsilon \leq \frac{\pi}{2y}. \quad (21)$$

Частота нелинейных колебаний

$$\omega_{\text{нел.}} = \omega_{\text{лин.}} \left\{ \left(\frac{15}{\varepsilon^3 Y^3} - \frac{30}{\varepsilon^5 Y^5} \right) \sin \varepsilon Y - \left(\frac{15}{\varepsilon^2 Y^2} - \frac{30}{\varepsilon^4 Y^4} \right) \cos \varepsilon Y \right\}^{1/2}. \quad (22)$$

Некоторые функции, как, например, кубическая парабола или синусоида, часто применяются при исследованиях нелинейных колебаний. Однако эти функции имеют ограничения вида (13), (21), которые связаны с тем, что используется лишь восходящая часть этих функций. Это уменьшает возможности практического применения этих зависимостей, так как значения коэффициентов ε , входящих в эти формулы, должны быть малыми. С этой точки зрения удобно применять функции, имеющие только восходящую часть, т.е. их производные всегда положительны. Одной из таких функций является функция арктангенса. Функцию $f(y)$ представим в виде:

$$f(y) = \frac{1}{\varepsilon} \operatorname{arctg} \varepsilon y. \quad (23)$$

В этом случае для частоты запишем:

$$\omega_{\text{нел.}} = \omega_{\text{лин.}} \left\{ \frac{5 \operatorname{arctg} \varepsilon Y}{4 \varepsilon Y} - \frac{5}{12 \varepsilon^2 Y^2} + \frac{5}{4 \varepsilon^4 Y^4} - \frac{5}{4 \varepsilon^5 Y^5} \operatorname{arctg} \varepsilon Y \right\}^{1/2}. \quad (24)$$

С помощью формулы (24) вычислены значения $\frac{\omega_{\text{нел.}}}{\omega_{\text{лин.}}}$, а затем $\frac{T_{\text{нел.}}}{T_{\text{лин.}}}$ при различных значениях εY . Результаты расчетов приведены в табл. 1.

Значения $\frac{\omega_{\text{нел.}}}{\omega_{\text{лин.}}}$ и $\frac{T_{\text{нел.}}}{T_{\text{лин.}}}$

Таблица 1

εY	$\frac{\omega_{\text{нел.}}}{\omega_{\text{лин.}}}$	$\frac{T_{\text{нел.}}}{T_{\text{лин.}}}$
1	0.913	1.095
2	0.789	1.267
4	0.625	1.600
5	0.570	1.754
6	0.531	1.883
8	0.469	2.134
10	0.424	2.360

Как видно из табл. 1, частоты нелинейных колебаний по сравнению с частотами линейных колебаний при увеличении εY уменьшаются, а периоды увеличиваются.

Рассмотрим теперь свободные нелинейные колебания многоэтажных рам с недеформируемыми ригелями, расчетная схема которых представляется в виде системы с конечным числом степеней свободы (рис. 3).

Уравнения свободных колебаний нелинейно-деформируемой системы могут быть записаны в виде [6]:

$$\sum_{i=k}^n m_i \frac{d^2 y_i}{dt^2} + R_k (y_k - y_{k-1}) = 0; \quad k = 1, 2, \dots, n, \quad (25)$$

где y_k - перемещение k -го этажа, m_i - масса, сосредоточенная на уровне k -го этажа, $R_k (y_k - y_{k-1})$ - восстанавливающая сила k -го этажа, n - число этажей.

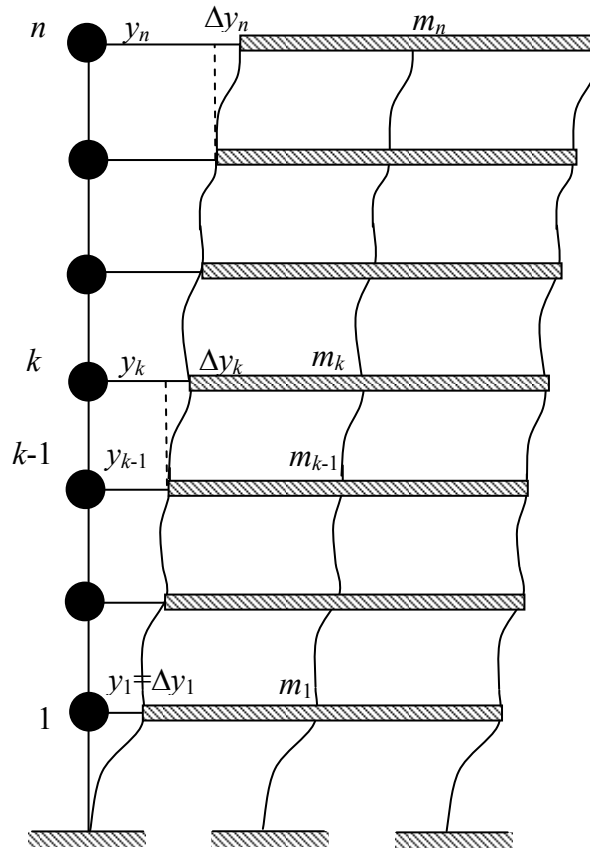


Рис. 3. Схема деформирования здания

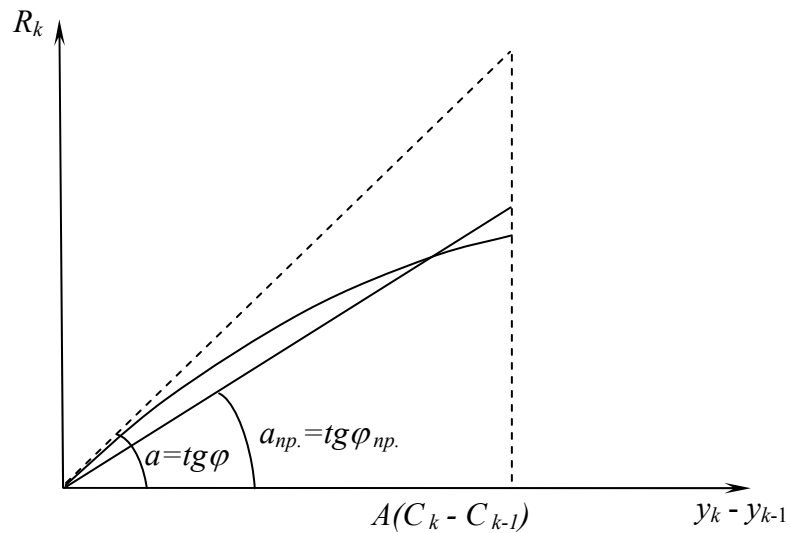


Рис. 4. Зависимость восстанавливающей силы от перекоса этажа

В дальнейшем примем, что жесткости всех этажей равны. Восстанавливающая сила k -го этажа будет:

$$R_k(y_k - y_{k-1}) = af_k(y_k - y_{k-1}), \quad k = 1, 2, \dots, n, \quad (26)$$

где a – начальная жесткость этажа.

Принимаем, что нелинейная система может быть заменена линейной с жесткостью $a_{np.}$. В этом случае восстанавливающая сила этажа будет

$$R_k(y_k - y_{k-1}) = a_{np.}(y_k - y_{k-1}). \quad (27)$$

Составляем разность суммарных восстанавливающих сил заданной нелинейной и линейной систем. Принимаем, что коэффициенты формы колебаний нелинейной системы пропорциональны коэффициентам форм линейной системы. Аналогично (6) и в этом случае задача сводится к минимизации интеграла, представляющего среднеквадратическую разность восстанавливающих сил нелинейных и линейных систем:

$$I = \sum_{k=1}^n 2 \int_0^{Y(C_k - C_{k-1})} [af_k(y_k - y_{k-1}) - a_{np.}(y_k - y_{k-1})]^2 (y_k - y_{k-1})^2 d(y_k - y_{k-1}), \quad (28)$$

где C_k – заданные коэффициенты основной формы колебаний.

Обозначим $\Delta_k = (y_k - y_{k-1})$; $\bar{\Delta}_k = C_k - C_{k-1}$.

Из (28) имеем:

$$\frac{dI}{da_{np.}} = -4 \sum_{k=1}^n \int_0^{\bar{\Delta}_k Y} af_k(\Delta_k) \cdot \Delta_k^3 d\Delta_k + 4 \sum_{k=1}^n \int_0^{\bar{\Delta}_k Y} \Delta_k^4 d\Delta_k = 0. \quad (29)$$

Отсюда получим:

$$a_{np.} = \frac{5a}{Y^5} \frac{\sum_{k=1}^n \int_0^{\bar{\Delta}_k Y} f_k(\Delta_k) \cdot \Delta_k^3 d\Delta_k}{\sum_{k=1}^n \bar{\Delta}_k^5}. \quad (30)$$

Частоту колебаний основного тона системы с жесткостью $a_{np.}$ и сосредоточенными массами m запишем так:

$$\omega_{np.}^2 = \omega_{нел.}^2 = \frac{a_{np.}}{m} \lambda_1, \quad (31)$$

где λ_1 – коэффициент, зависящий от этажности. Подставляя (30) в (31), получаем:

$$\omega_{np.}^2 = \frac{a}{m} \lambda_1 \cdot \frac{5a}{Y^5} \frac{\sum_{k=1}^n \int_0^{\bar{\Delta}_k Y} f_k(\Delta_k) \cdot \Delta_k^3 d\Delta_k}{\sum_{k=1}^n \bar{\Delta}_k^5}. \quad (32)$$

Так как $\frac{a}{m} \lambda_1 = \omega_{лнн.}^2$, то из (32) получим:

$$\omega_{нел.} = \omega_{лнн.} \left\{ \frac{5a}{Y^5} \frac{\sum_{k=1}^n \int_0^{\bar{\Delta}_k Y} f_k(\Delta_k) \cdot \Delta_k^3 d\Delta_k}{\sum_{k=1}^n \bar{\Delta}_k^5} \right\}^{1/2}. \quad (33)$$

С помощью формулы (33) могут быть определены значения $\omega_{нел.}$ при тех же зависимостях, которые были исследованы для систем с одной степенью свободы.

Рассмотрим различные случаи нелинейных законов изменения восстанавливающей силы.

$$1. f_k(\Delta_k) = \Delta_k - \epsilon \Delta_k^3. \quad (34)$$

Из (33) получим

$$\omega_{\text{нел.}} = \omega_{\text{лин.}} \left\{ \frac{\sum_{k=1}^n \left[\bar{\Delta}_k^5 - \frac{5}{7} \varepsilon Y^2 \sum_{k=1}^n \bar{\Delta}_k^7 \right]}{\sum_{k=1}^n \bar{\Delta}_k^5} \right\}^{1/2} . \quad (35)$$

$$2. f_k(\Delta_k) = \sum_{j=1}^{\infty} b_j \Delta_k^j . \quad (36)$$

Для $\omega_{\text{нел.}}$ получим

$$\omega_{\text{нел.}} = \omega_{\text{лин.}} \left\{ \frac{5 \sum_{k=1}^n \sum_{j=1}^{\infty} b_j \cdot \frac{Y^{j-1} \bar{\Delta}_k^{j+4}}{j+4}}{\sum_{k=1}^n \bar{\Delta}_k^5} \right\}^{1/2} . \quad (37)$$

$$3. f_k(\Delta_k) = \frac{1}{\varepsilon} \sin \varepsilon \Delta_k . \quad (38)$$

$$\omega_{\text{нел.}} = \omega_{\text{лин.}} \left\{ \frac{5 \sum_{k=1}^n \left[\frac{3 \bar{\Delta}_k}{\varepsilon^3 Y^3} - \frac{6}{\varepsilon^5 Y^5} \right] \sin \varepsilon Y \bar{\Delta}_k - \left[\frac{\bar{\Delta}_k^3}{\varepsilon^2 Y^2} - \frac{6 \bar{\Delta}_k}{\varepsilon^4 Y^4} \right] \cos \varepsilon Y \bar{\Delta}_k}{\sum_{k=1}^n \bar{\Delta}_k^5} \right\}^{1/2} . \quad (39)$$

$$4. f_k(\Delta_k) = \begin{cases} \Delta_k; & \Delta_k = \Delta_{k1}; \\ \gamma \Delta_k + (1-\gamma) \Delta_{k1}; & \Delta_k \geq \Delta_{k1}. \end{cases} \quad (40)$$

$$\omega_{\text{нел.}} = \omega_{\text{лин.}} \left\{ \frac{\sum_{k=1}^n \left[-\frac{(1-\gamma) \Delta_{k1}^5}{4 Y^5} + \frac{\gamma - \Delta_k^5 (1-\gamma) \Delta_{k1} \Delta_k^4}{4 Y} \right]}{\sum_{k=1}^n \bar{\Delta}_k^5} \right\}^{1/2} . \quad (41)$$

$$5. f_k(\Delta_k) = \begin{cases} \Delta_k; & \Delta_k = \Delta_{k1}; \\ \gamma_1 \Delta_k + (1-\gamma_1) \Delta_{k1}; & \Delta_{k1} \leq \Delta_k \leq \Delta_{k2}; \\ [\gamma_2 \Delta_k + (1-\gamma_1) \Delta_{k1} + (\gamma_1 - \gamma_2) \Delta_{k2}]; & \Delta_k \geq \Delta_{k2}; \end{cases} \quad (42)$$

$$\omega_{\text{нел.}} = \omega_{\text{лин.}} \left\{ \frac{\gamma_2 + \frac{5}{4} [1-\gamma_1 + (\gamma_1 - \gamma_2) \beta] \frac{\Delta_{k1}}{\Delta_k Y} - \left[\frac{1}{4} (1-\gamma_1) + \frac{1}{4} (\gamma_1 - \gamma_2) \beta^5 \right] \left(\frac{\Delta_{k1}}{\Delta_k Y} \right)^5}{\sum_{k=1}^n \bar{\Delta}_k^5} \right\}^{1/2} . \quad (43)$$

$$6. f_k(\Delta_k) = \frac{1}{\varepsilon} \operatorname{arctg} \varepsilon \Delta_k . \quad (44)$$

$$\omega_{\text{нел.}} = \omega_{\text{лин.}} \left\{ \frac{\sum_{i=1}^n \frac{5}{4 \varepsilon Y} \bar{\Delta}_k^4 \operatorname{arctg} \varepsilon Y \bar{\Delta}_k - \frac{5}{12 \varepsilon^2 Y^2} \bar{\Delta}_k^3 + \frac{5}{4 \varepsilon^4 Y^4} - \frac{5}{4 \varepsilon^5 Y^5} \operatorname{arctg} \varepsilon Y \bar{\Delta}_k}{\sum_{k=1}^n \bar{\Delta}_k^5} \right\}^{1/2} . \quad (45)$$

По формуле (45) вычислены значения $\omega_{\text{нел.}} / \omega_{\text{лин.}}$, а затем и $T_{\text{нел.}} / T_{\text{лин.}}$ для $n = 5$.

В табл.2 приведены принятые значения $C_k, \bar{\Delta}_k$ ($k = 1, 2, \dots, 5$), которые взяты из [6].

Таблица 2

k	C_k	$\bar{\Delta}_k$
1	0.2856	0.2856
2	0.548	0.2624
3	0.7656	0.2176
4	0.922	0.1564
5	1	0.078

Значения $T_{нел.}/T_{лин.}$ при $\varepsilon Y = 2,4,6,8,10$ получились соответственно 1.04; 1.1; 1.194; 1.285; 1.381. Интересно сравнить $T_{нел.}/T_{лин.}$, полученные при $n=1$ и $n=5$. Соответствующие зависимости приведены на рис. 5.

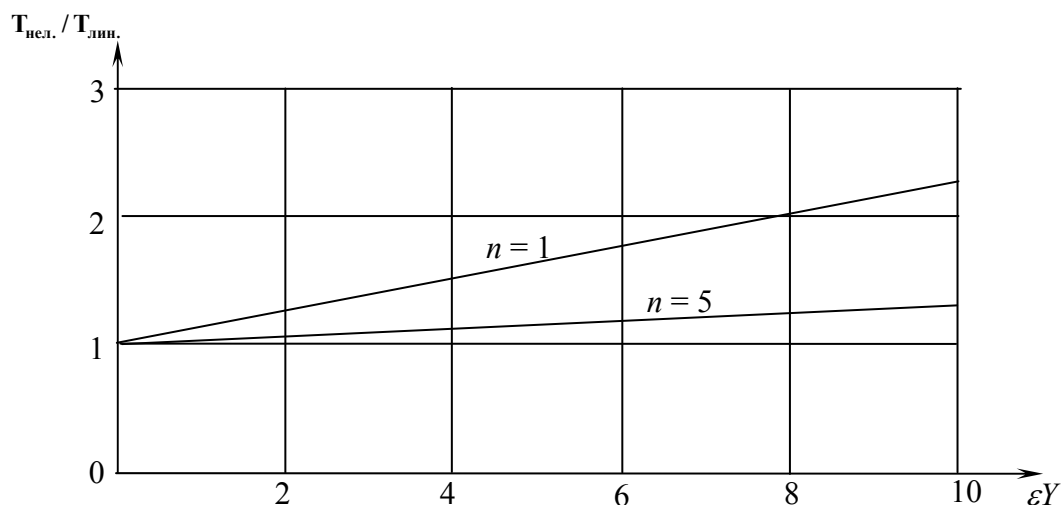


Рис. 5. Зависимости отношений периодов от перемещения

Как видно из этого графика, $T_{нел.}/T_{лин.}$ увеличивается с увеличением εY . При этом при одном и том же перемещении εY отношение $T_{нел.}/T_{лин.}$ больше в одноэтажном здании.

Во всех рассмотренных случаях нелинейного деформирования нагружение и разгрузка происходили по одному и тому же нелинейному закону. Если же нагружение происходит по нелинейному закону, а разгрузка - по линейному, то период гистерезисных колебаний $T_{гис.}$ может быть определен по формуле [4].

$$T_{гис.} = \frac{T_{нел.} + T_{лин.}}{2}, \quad (46)$$

где $T_{нел.}$, $T_{лин.}$ – соответственно период нелинейных и линейных колебаний.

ЛИТЕРАТУРА

1. Розенберг Р.М. О формах колебаний нормального типа нелинейных систем с двумя степенями свободы// Механика. 1961. N 5.
2. Розенберг Р.М. Нормальные формы колебаний нелинейных систем с n степенями свободы/Труды Американского общества инженеров-механиков. Серия Е. Прикладная механика. 1962. Т. 29. N 1.

3. Каудерер Г. Нелинейная механика. М.: Ил. 1961.
4. Амбарцумян В.А. О периодах свободных нелинейных колебаний каркасных зданий// Изв. АН Арм. ССР. Серия техн. наук. 1971. Т. XXIV. N 1.
5. Амбарцумян В.А. Об одном методе определения частот и форм свободных нелинейных колебаний каркасных зданий//Известия АН Арм. ССР. Серия техн. наук. 1979. Т. XXXII. N 5.
6. Хачиян Э.Е., Амбарцумян В.А. Динамические модели сооружений в теории сейсмостойкости. М.: Наука. 1981.
7. Пановко Я.Г. Основы прикладной теории колебаний и удара. Л.:Машиностроение. 1976.
8. Прочность. Устойчивость. Колебания. Т.3. М.: Машиностроение. 1968.
9. Вибрации в технике. Колебания нелинейных механических систем. Т.2. М.: Машиностроение. 1979.